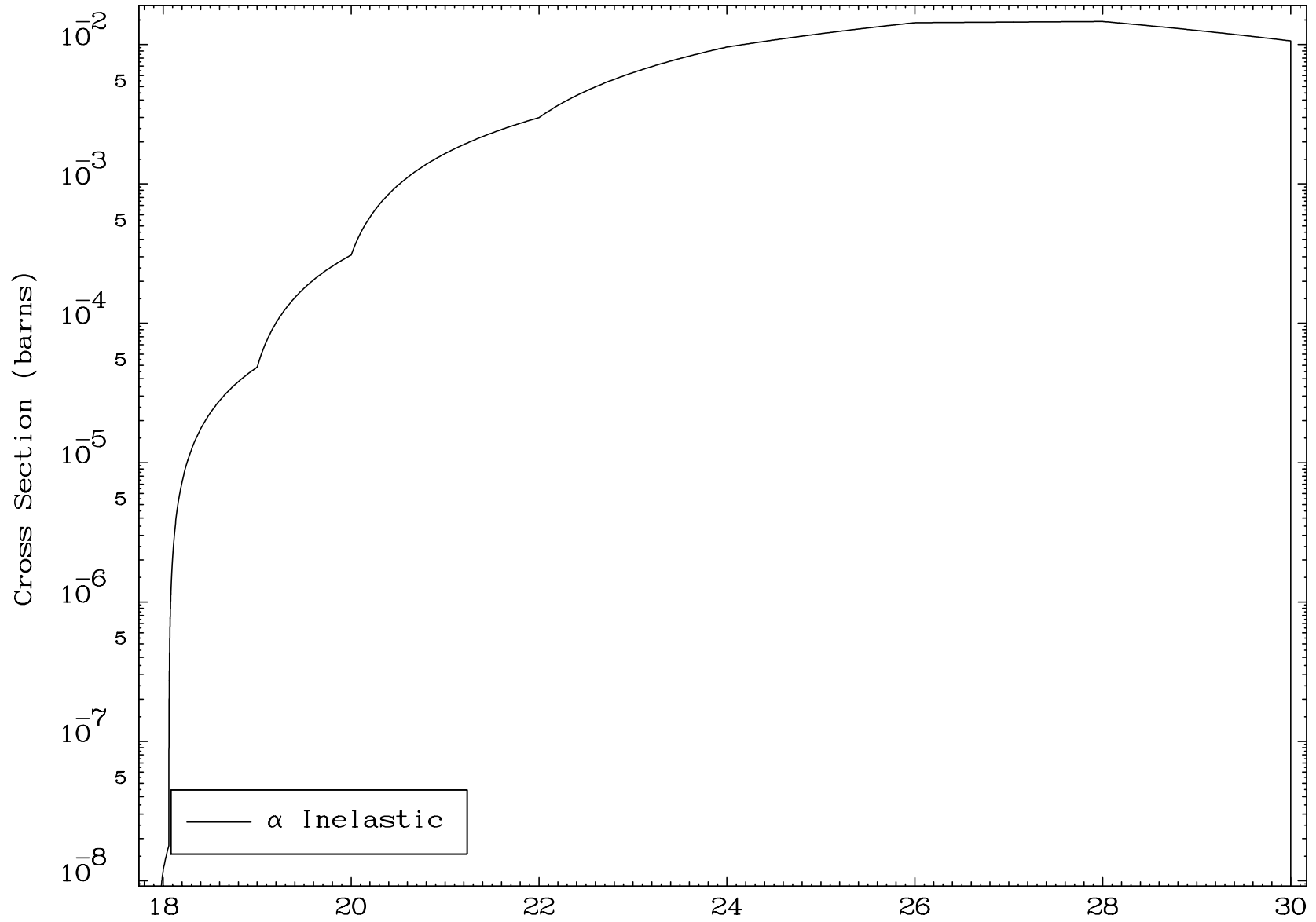


MAT 7866

(α, n') Level
0 Kelvin Cross Sections

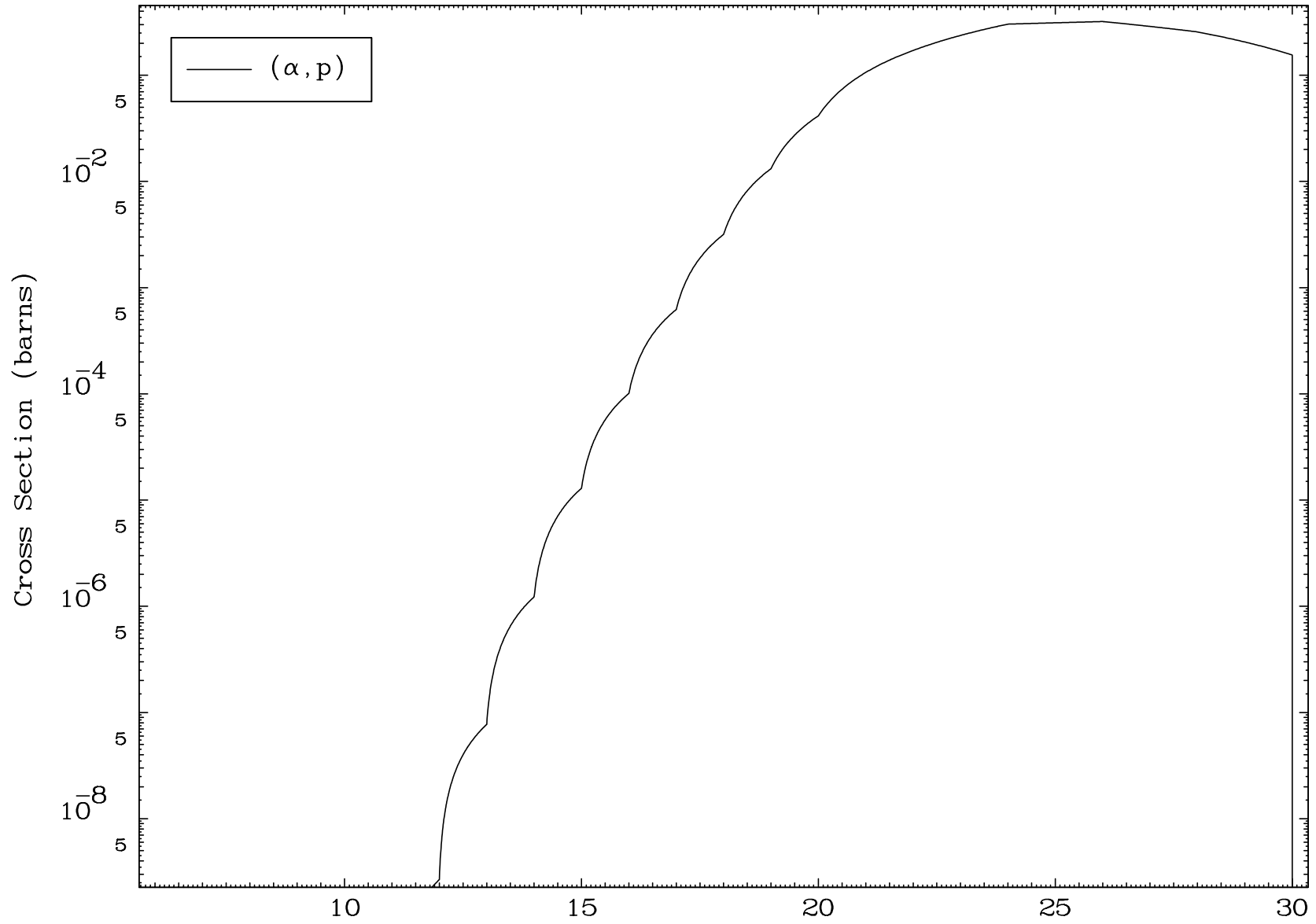
79-Au-177

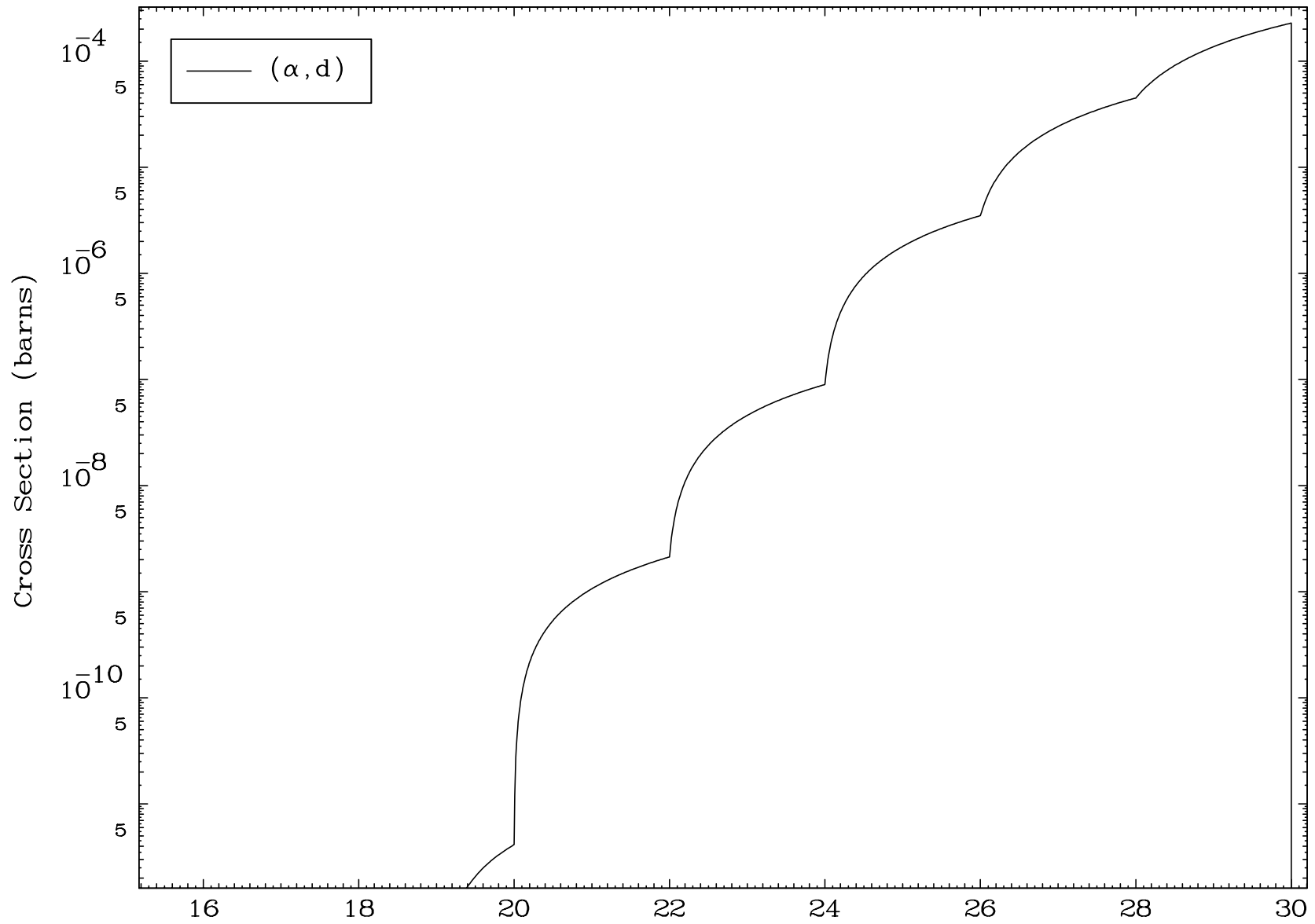


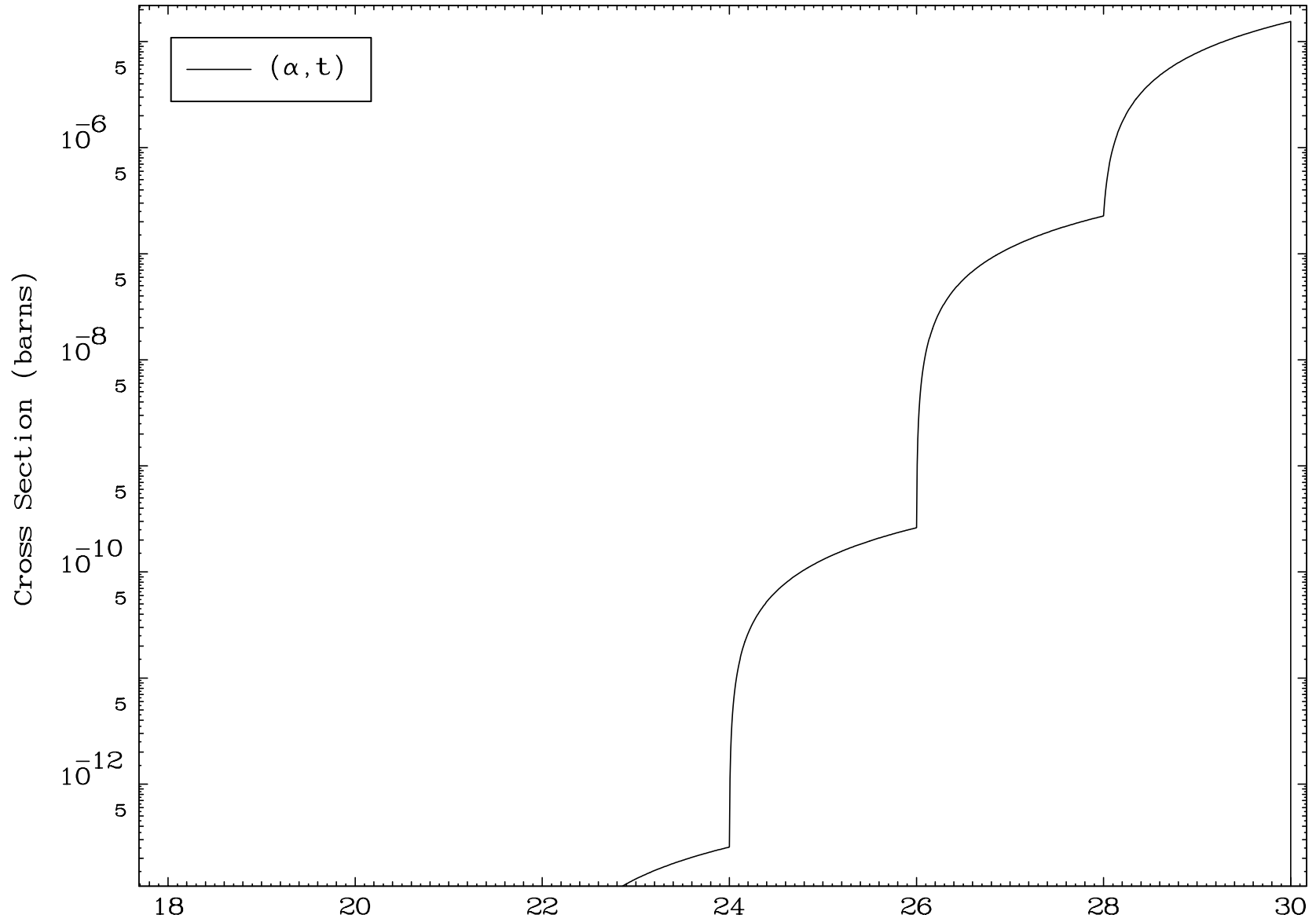
5

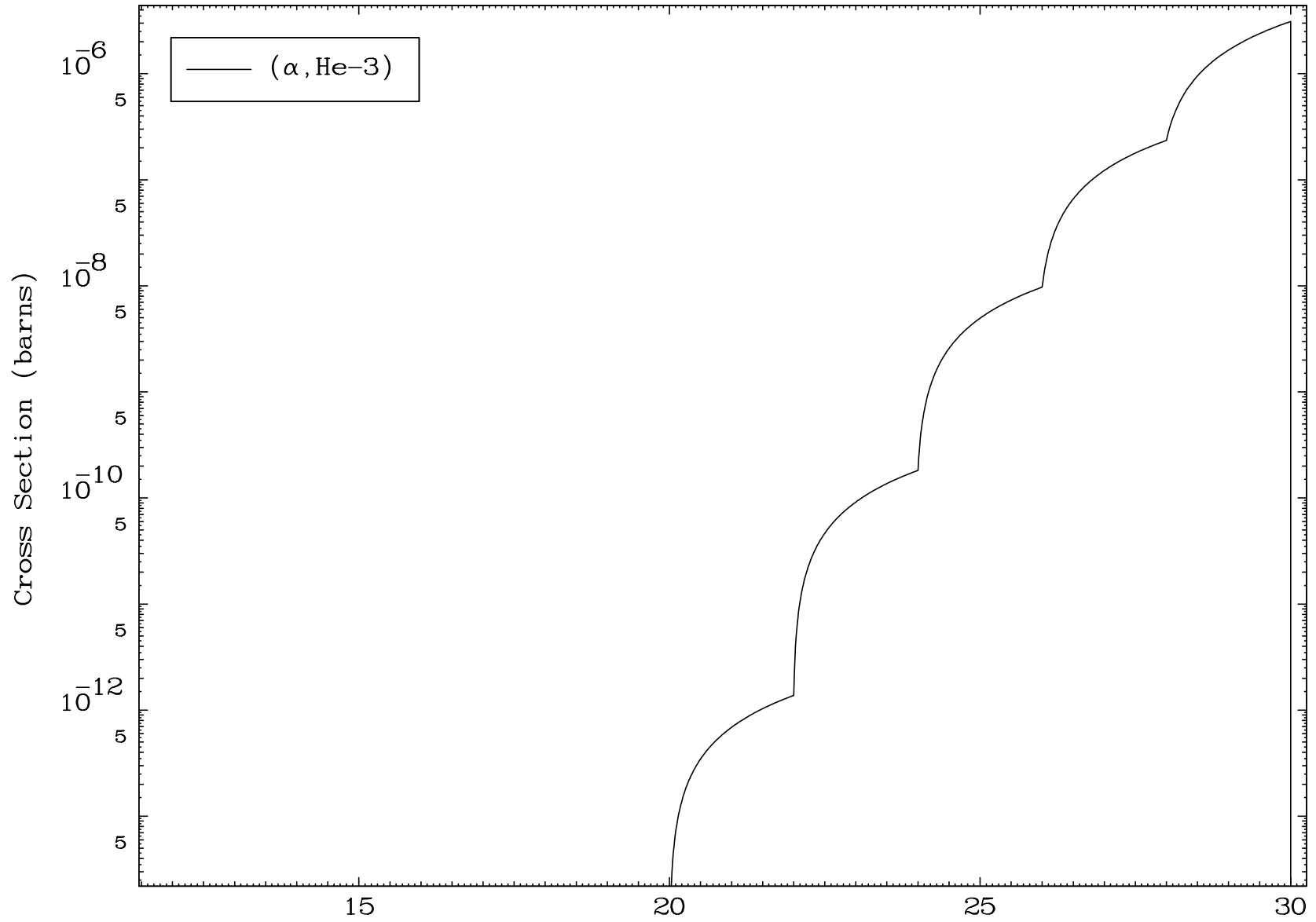
Incident Energy (MeV)

79-Au-177





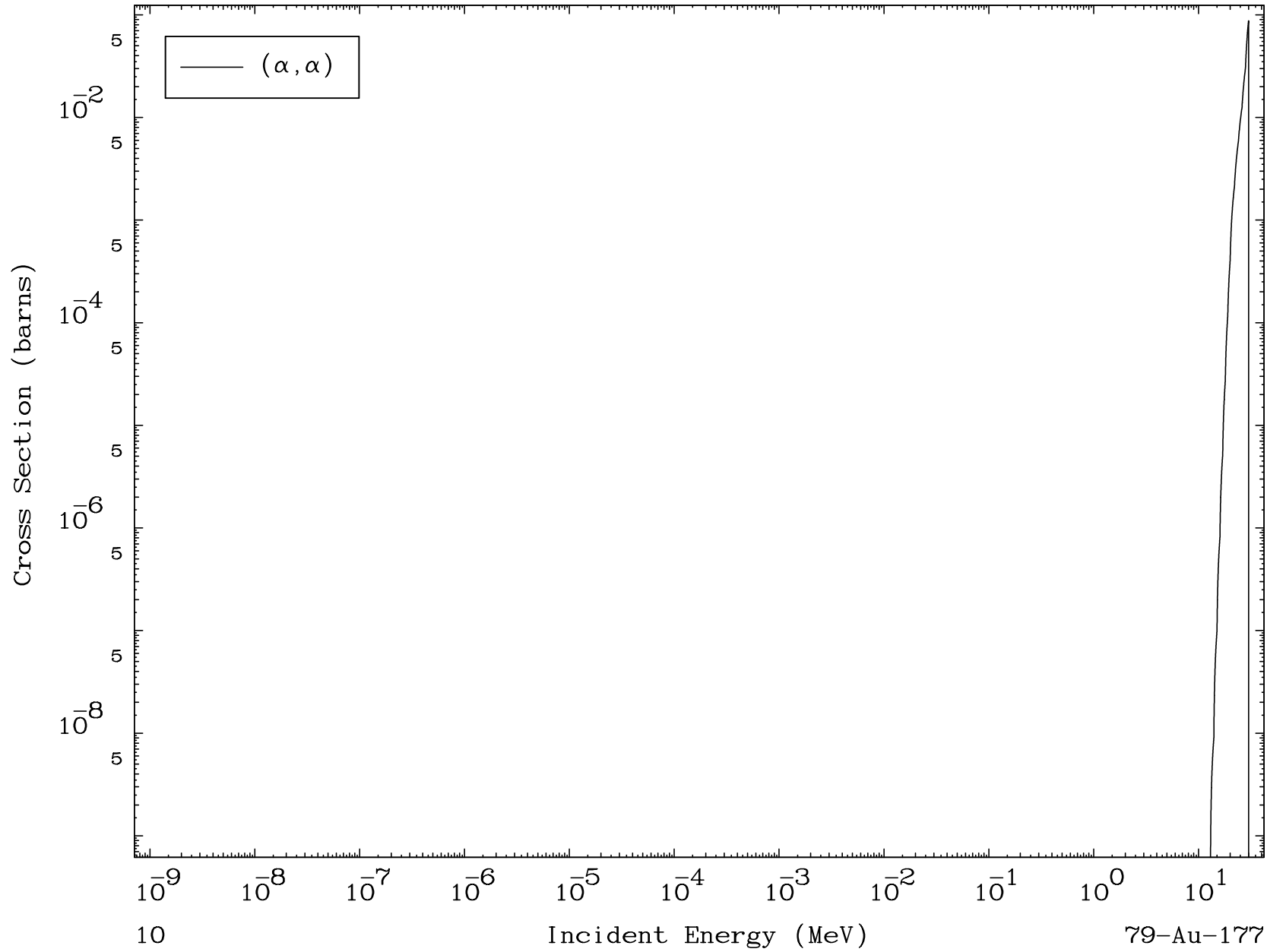


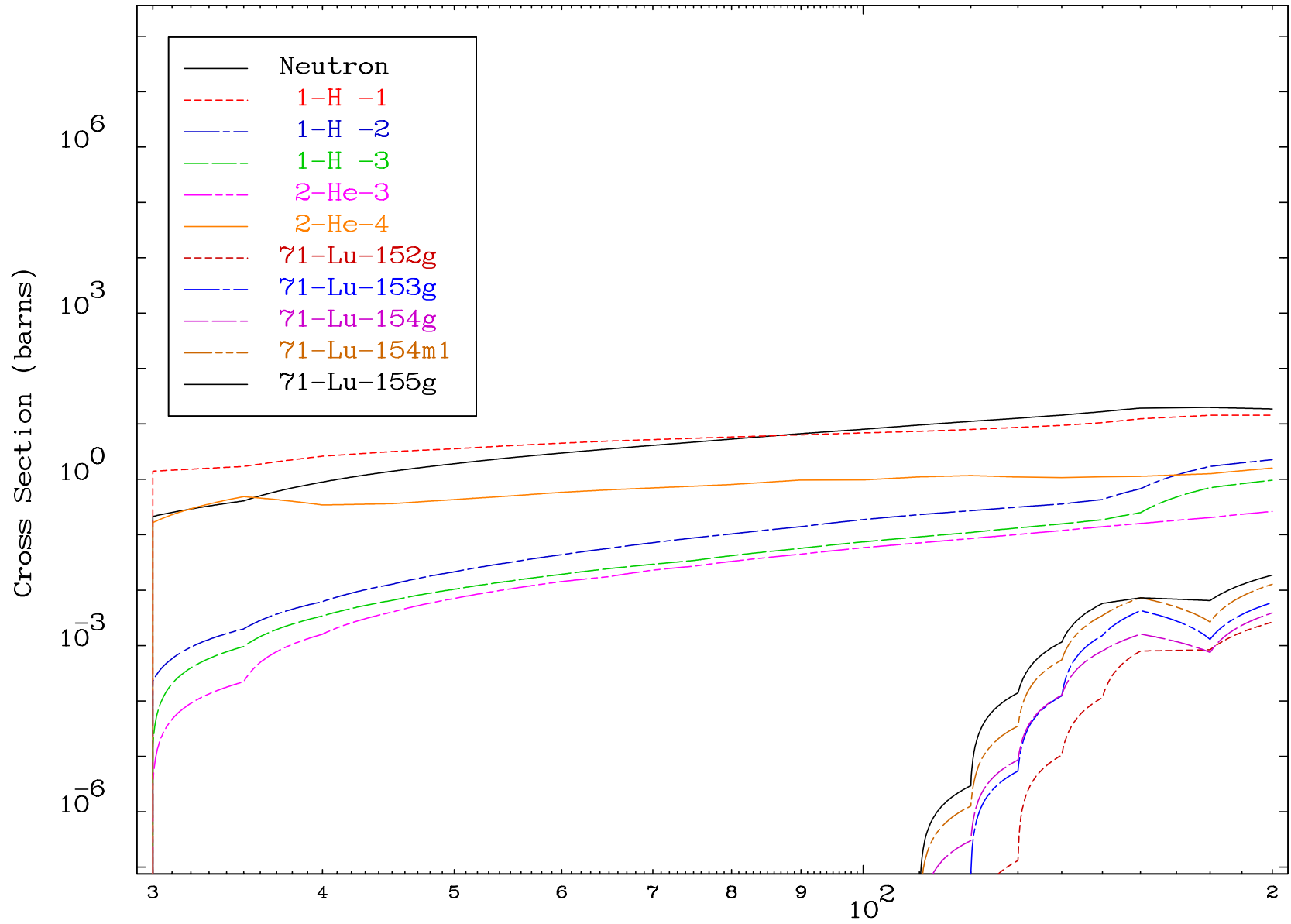


MAT 7866

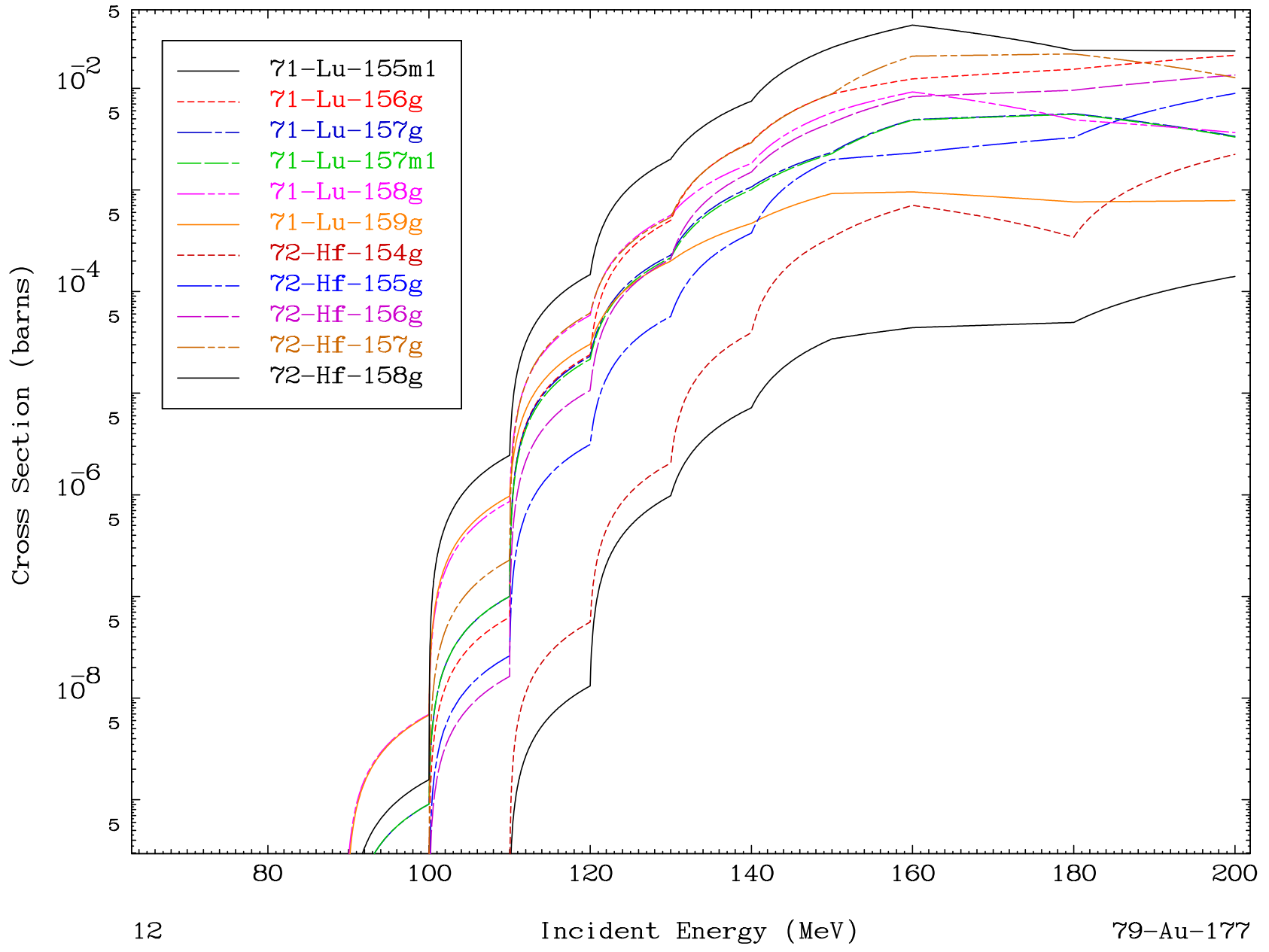
(α, α) Levels
0 Kelvin Cross Sections

79-Au-177

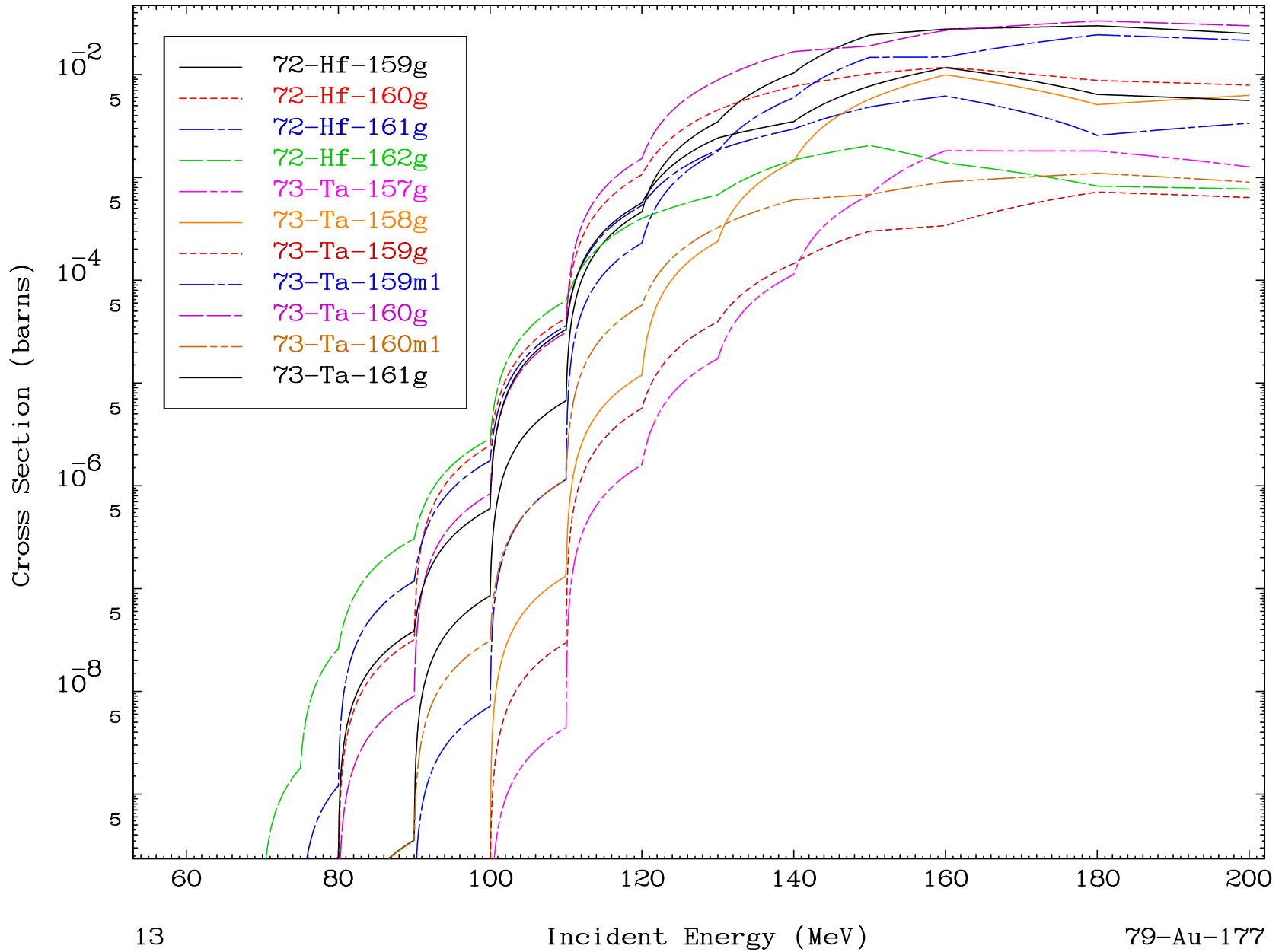




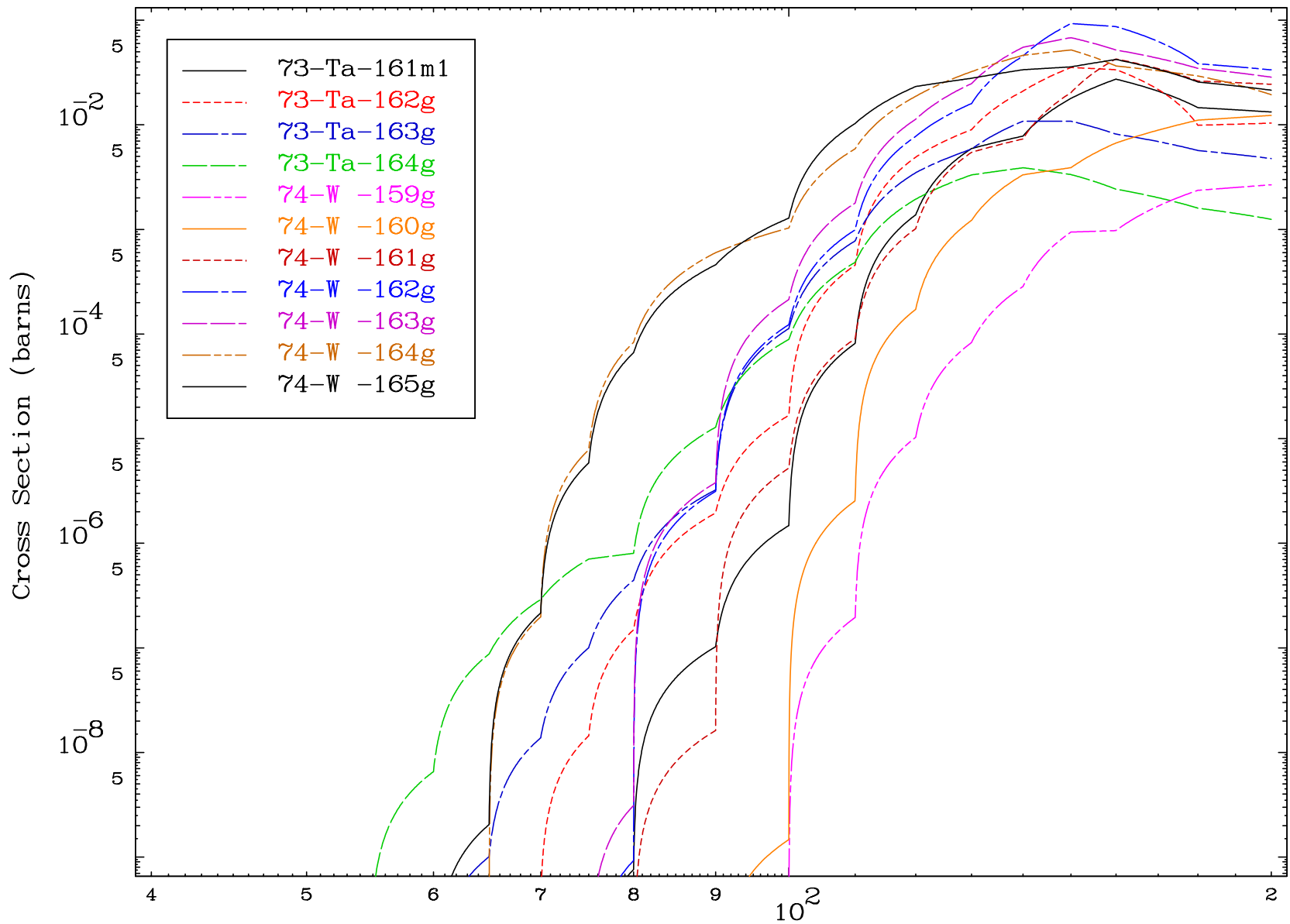
Radionuclide Production Cross Section



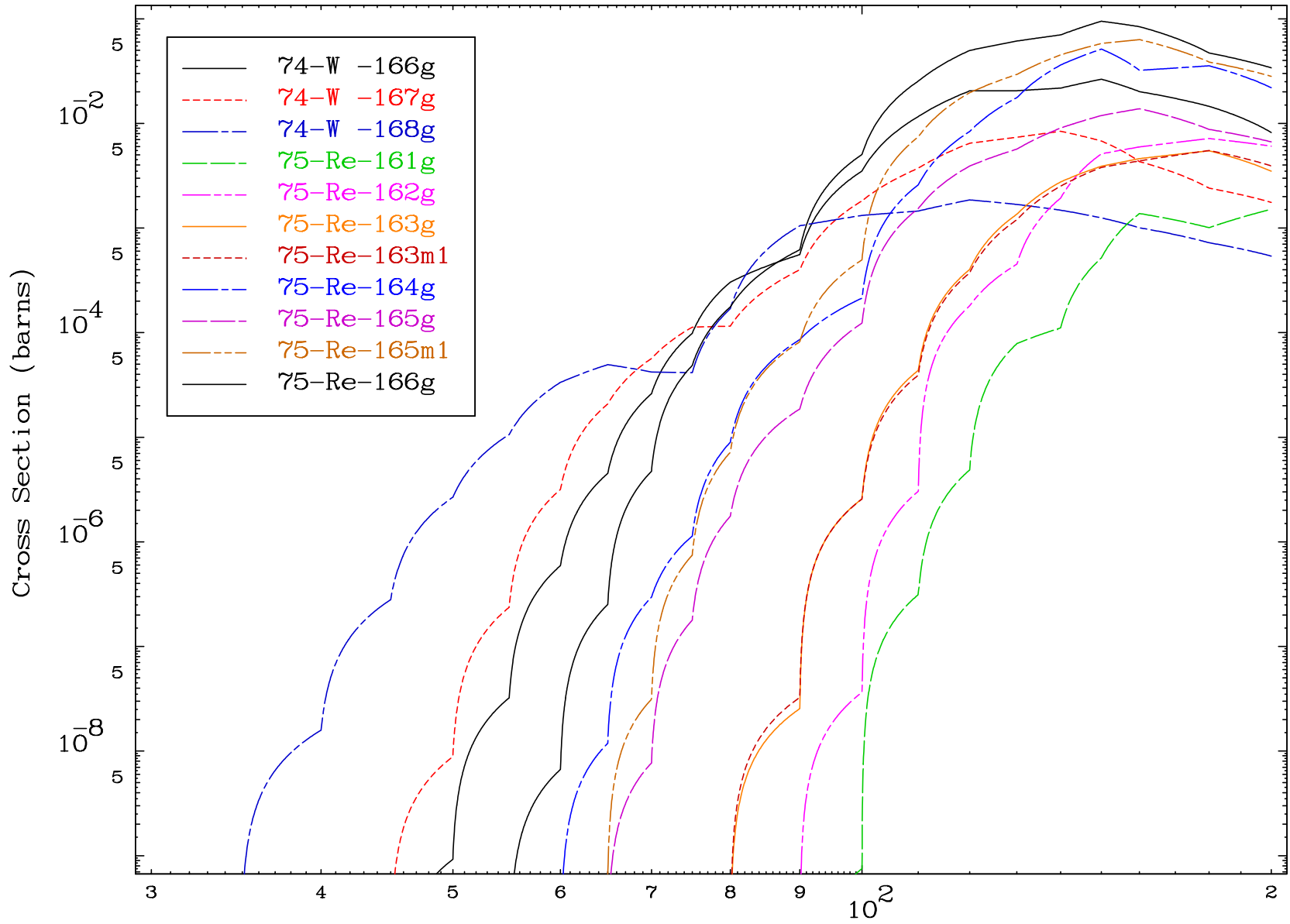
Radionuclide Production Cross Section

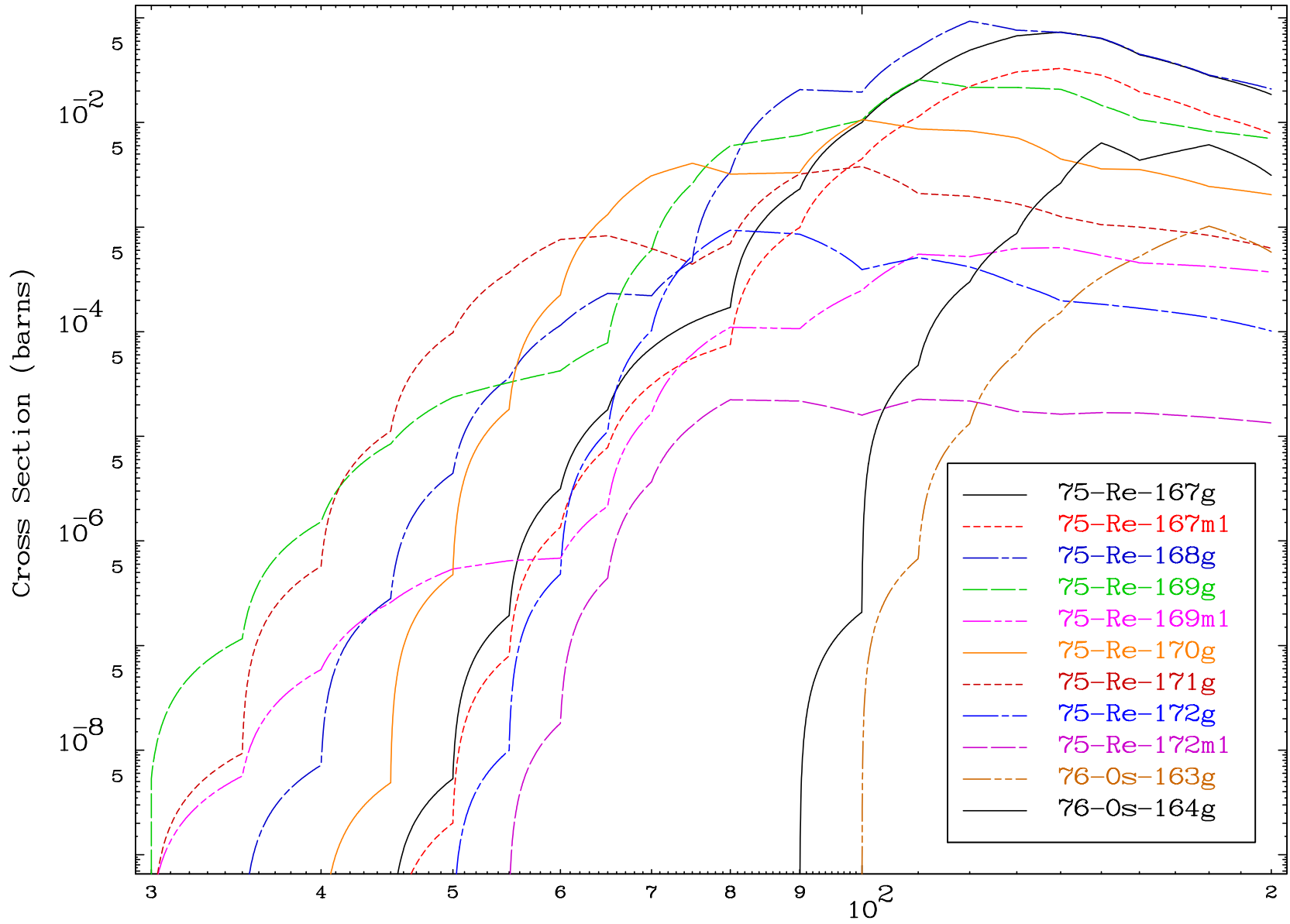


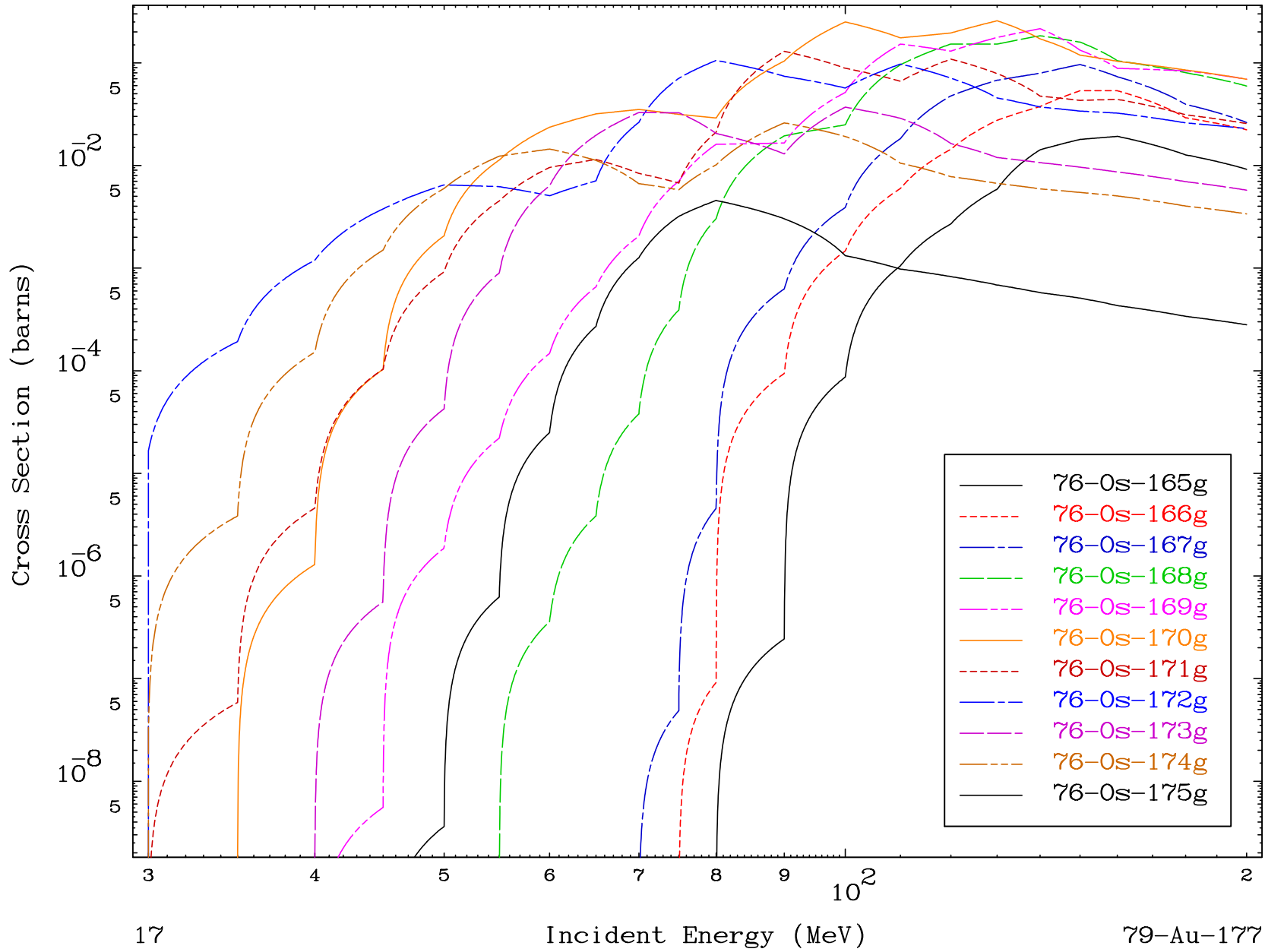
Radionuclide Production Cross Section

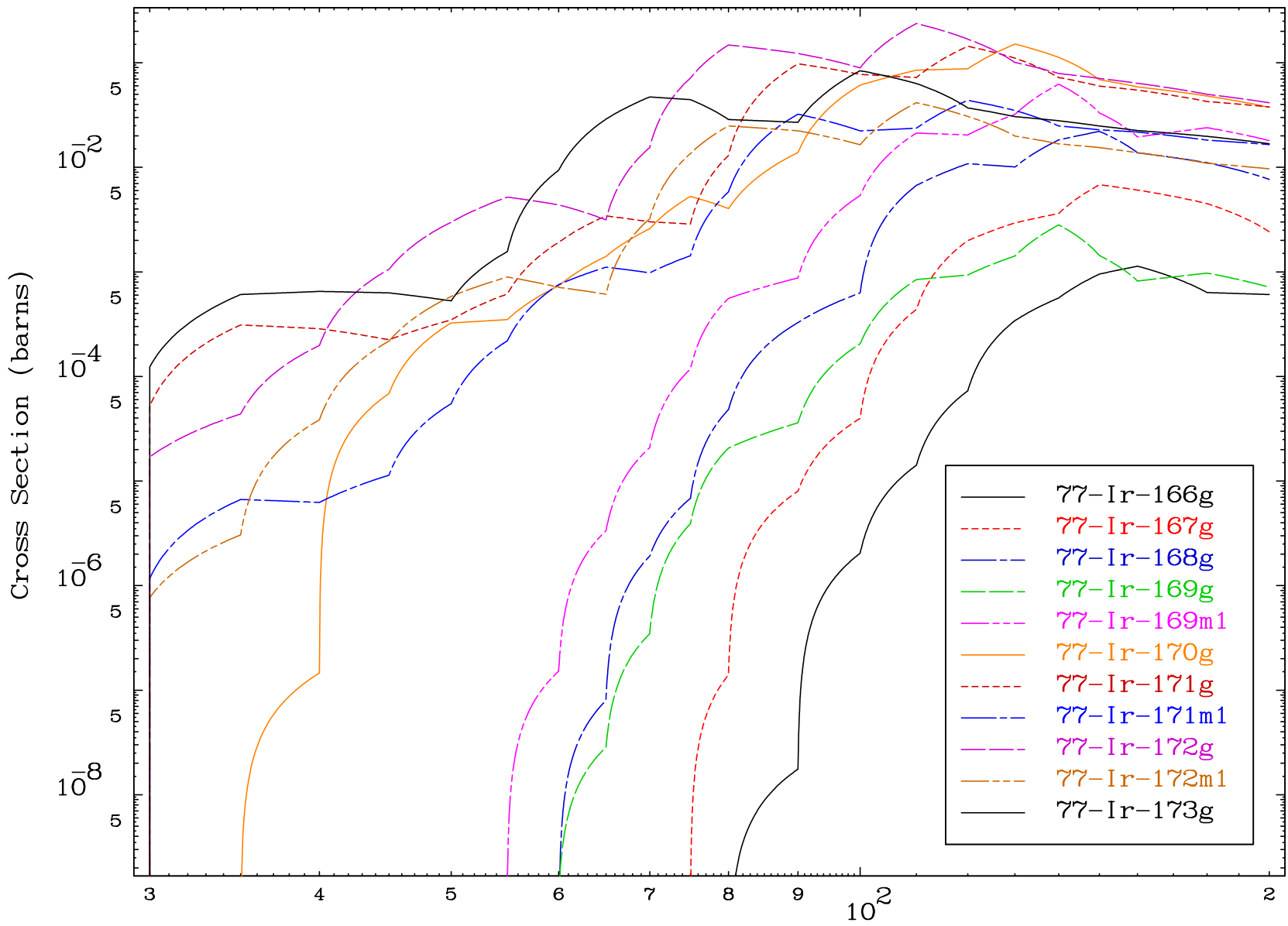


Radionuclide Production Cross Section

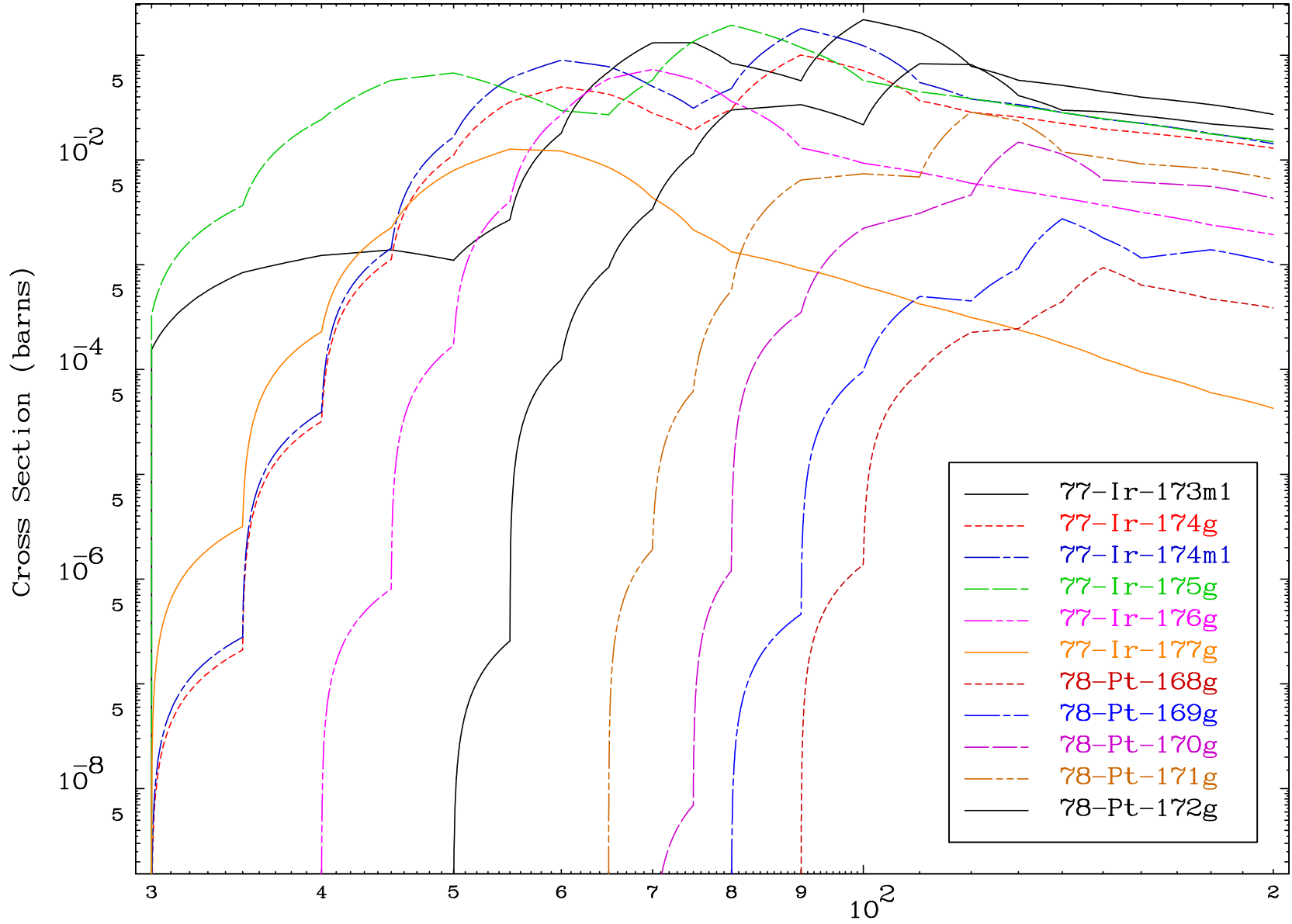








Radionuclide Production Cross Section

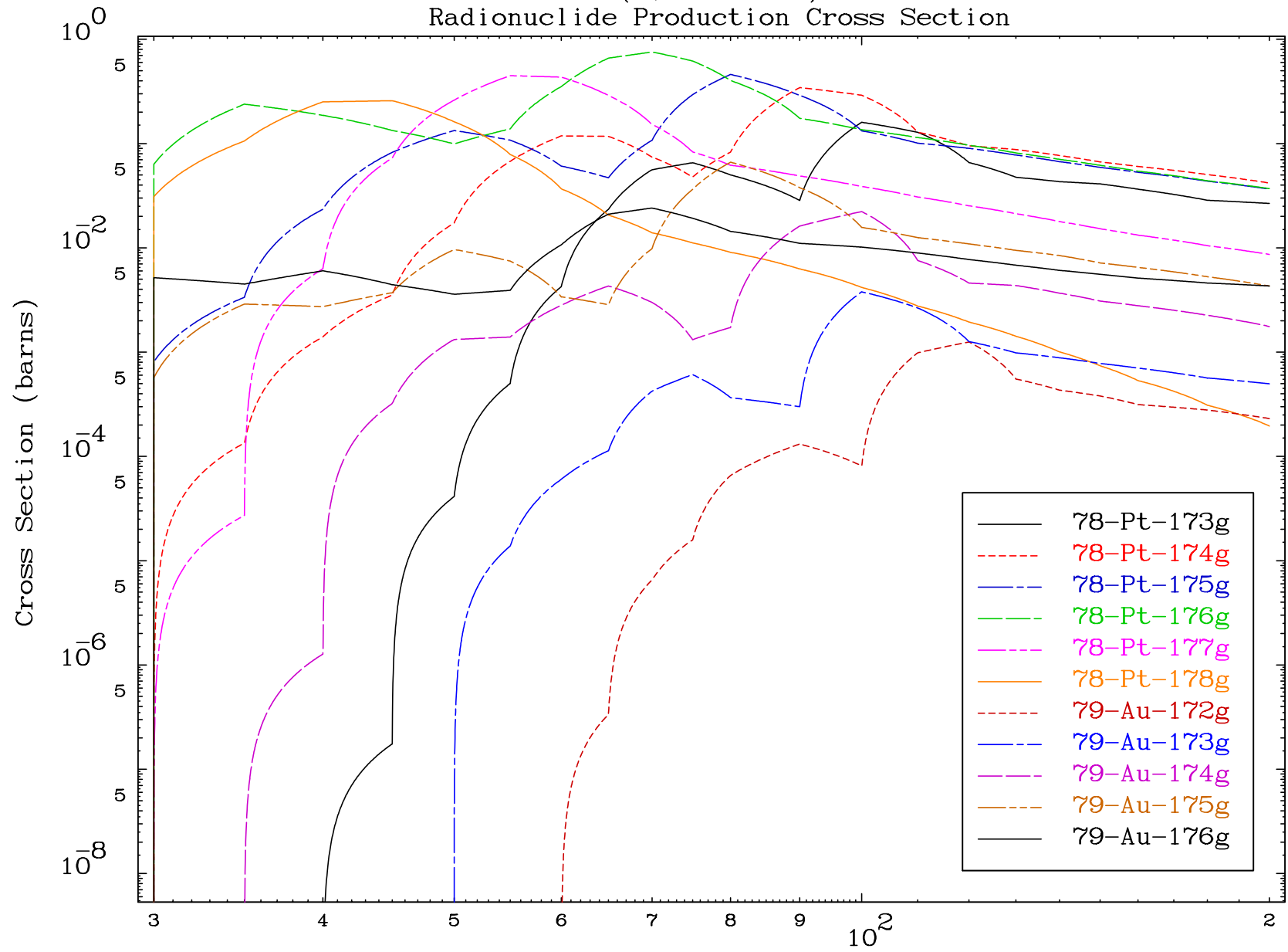


MAT 7866

(α , remainder)

79-Au-177

Radionuclide Production Cross Section

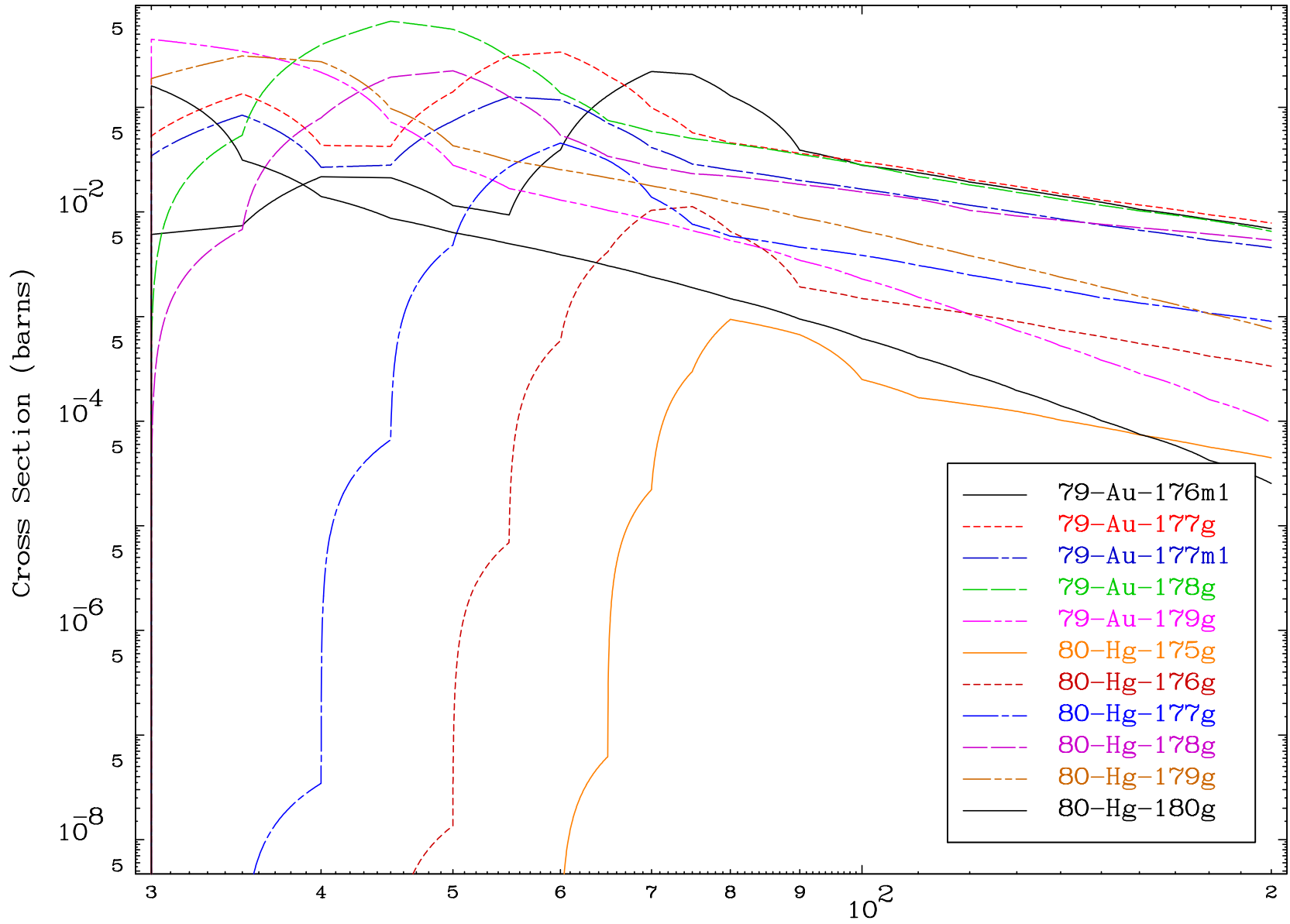


20

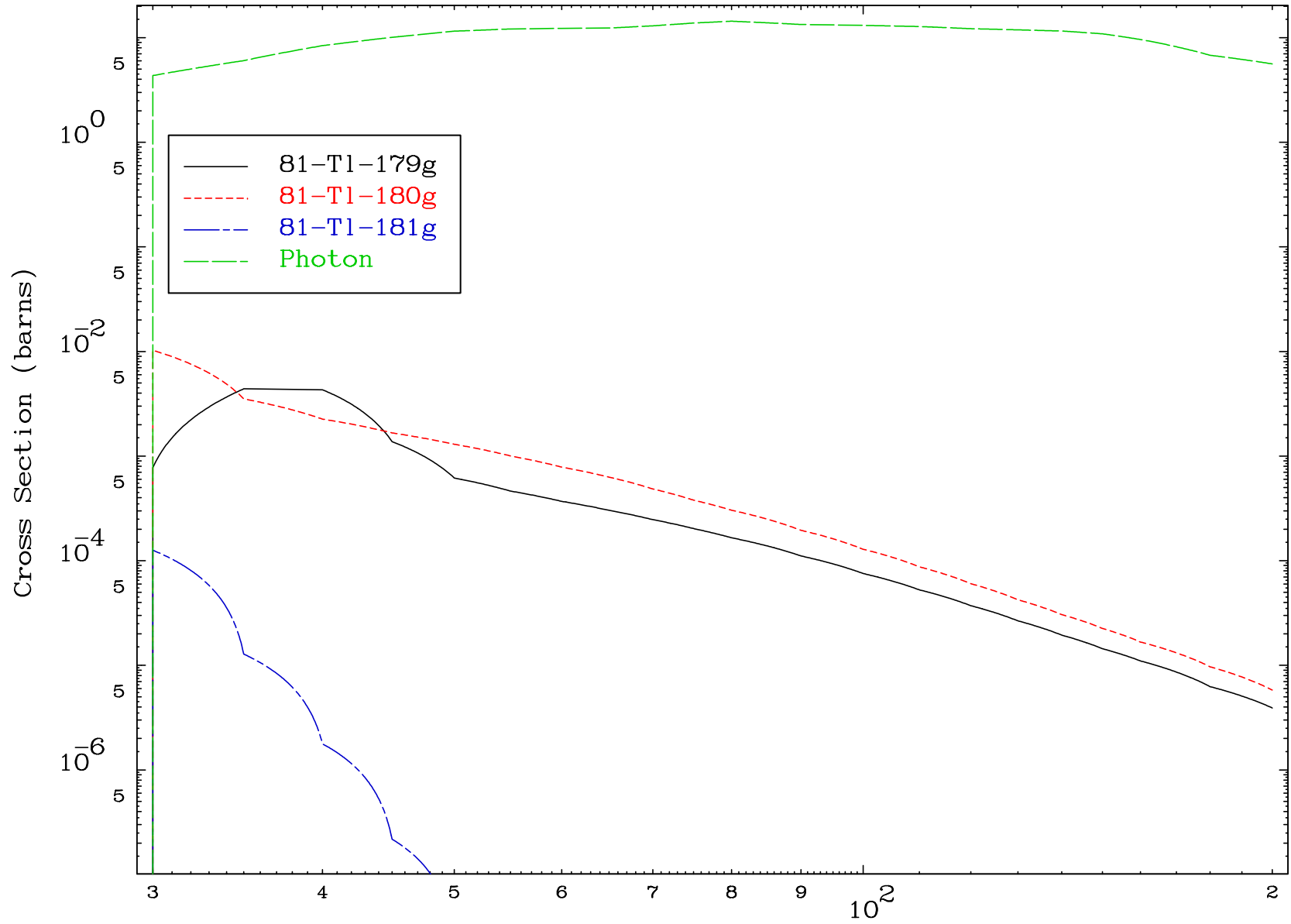
Incident Energy (MeV)

79-Au-177

Radionuclide Production Cross Section



Radionuclide Production Cross Section

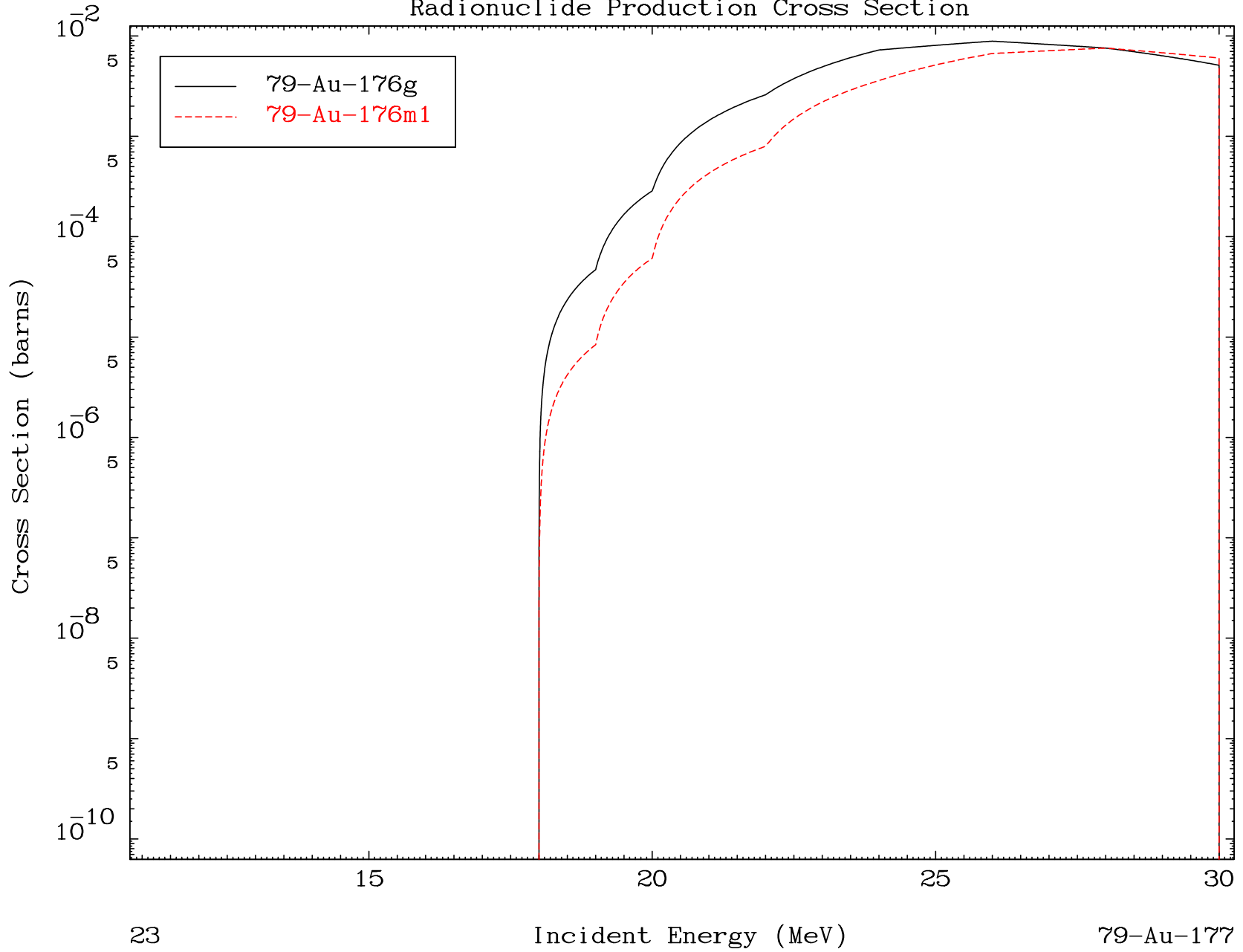


MAT 7866

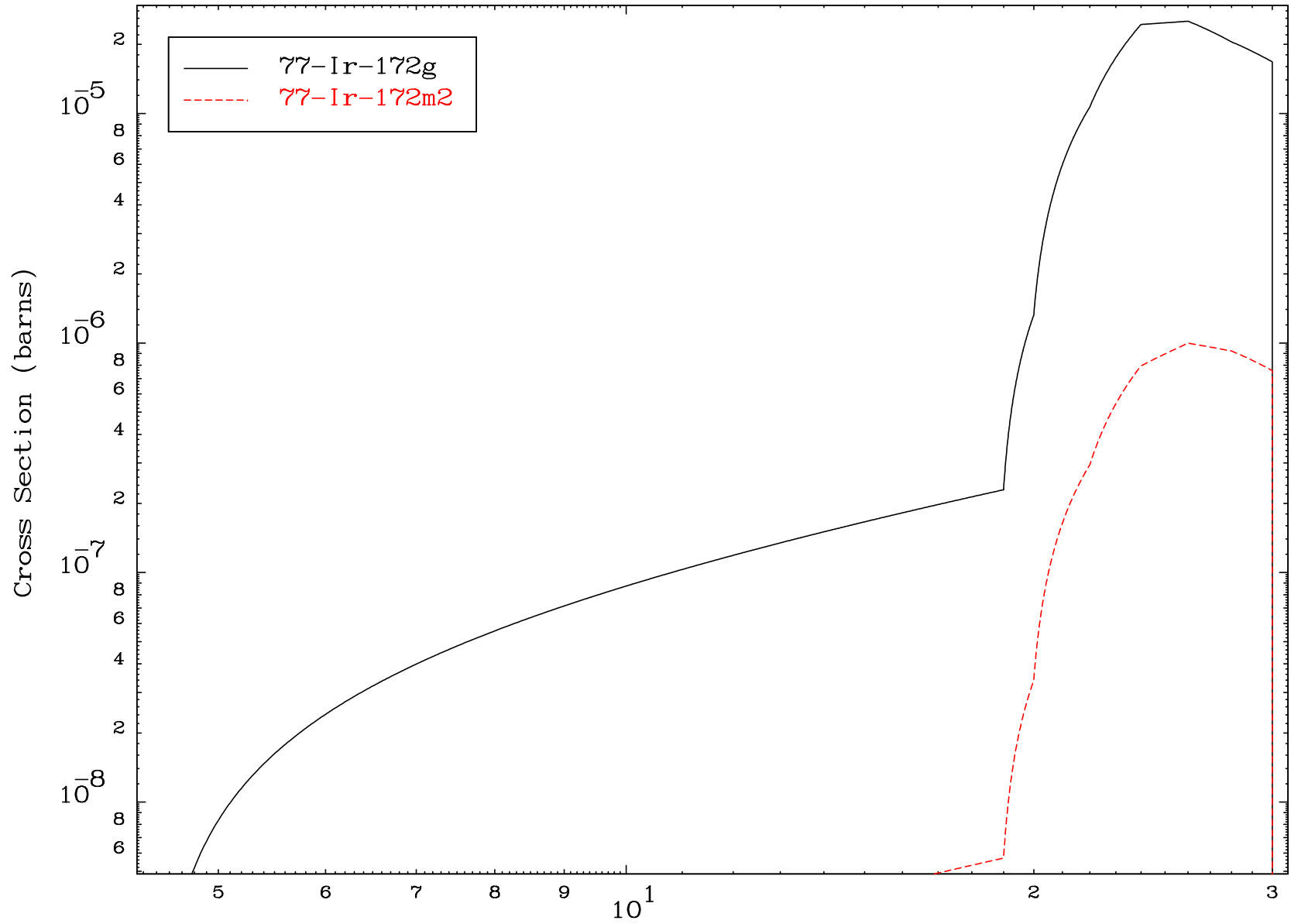
(α, n') α

79-Au-177

Radionuclide Production Cross Section



Radionuclide Production Cross Section

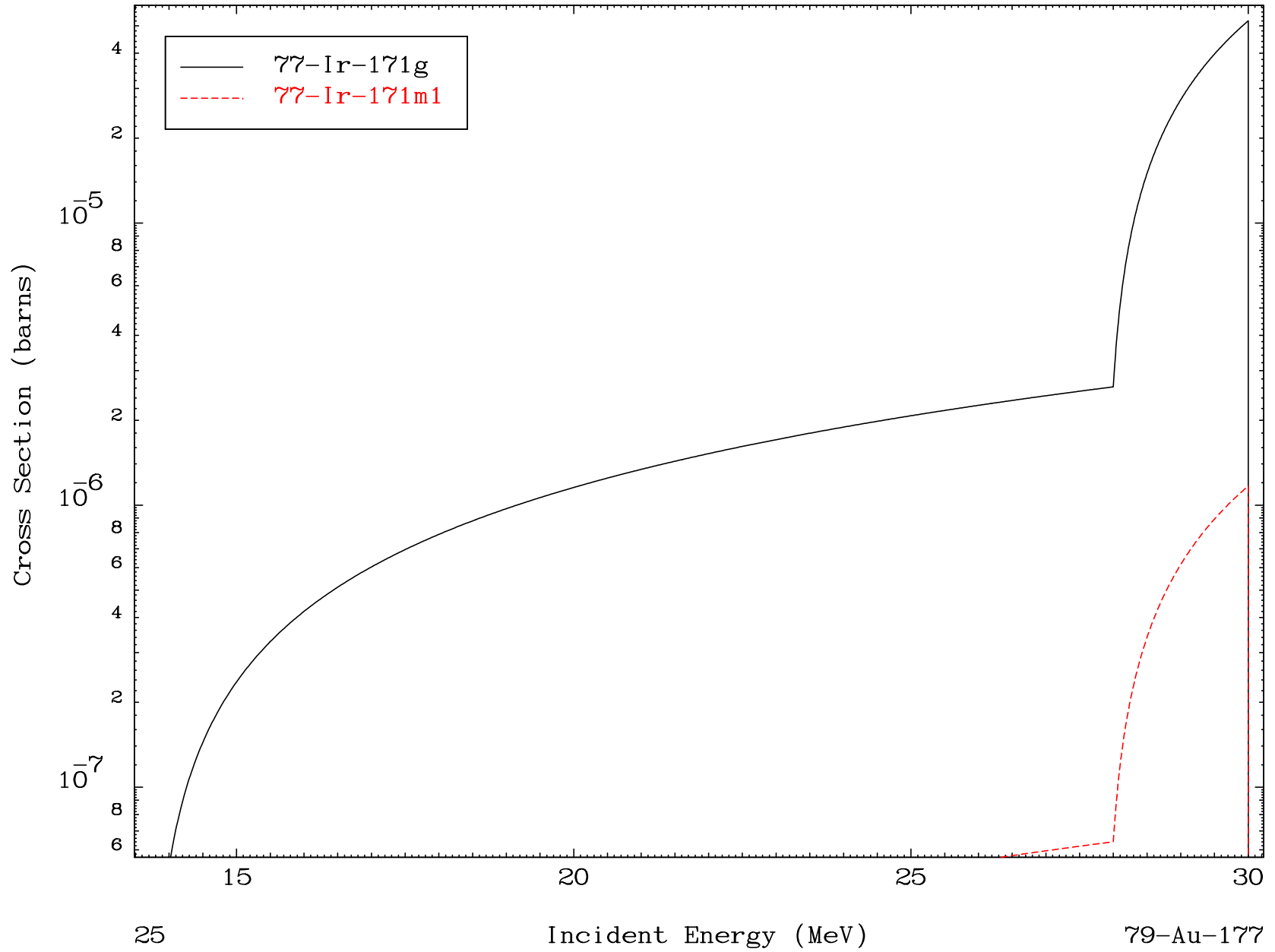


MAT 7866

($\alpha, 2n$) 2α

79-Au-177

Radionuclide Production Cross Section

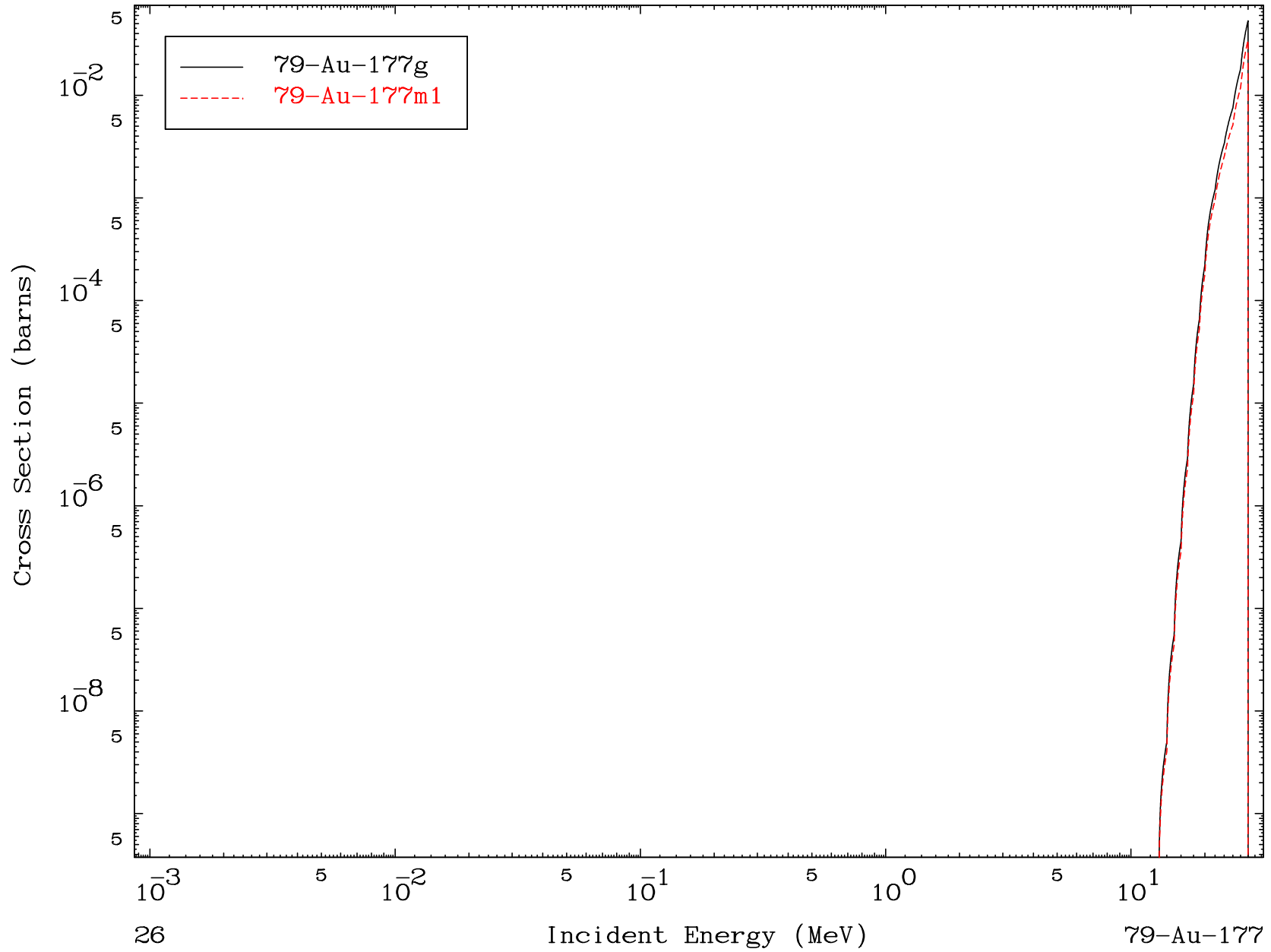


MAT 7866

(α, α)

79-Au-177

Radionuclide Production Cross Section

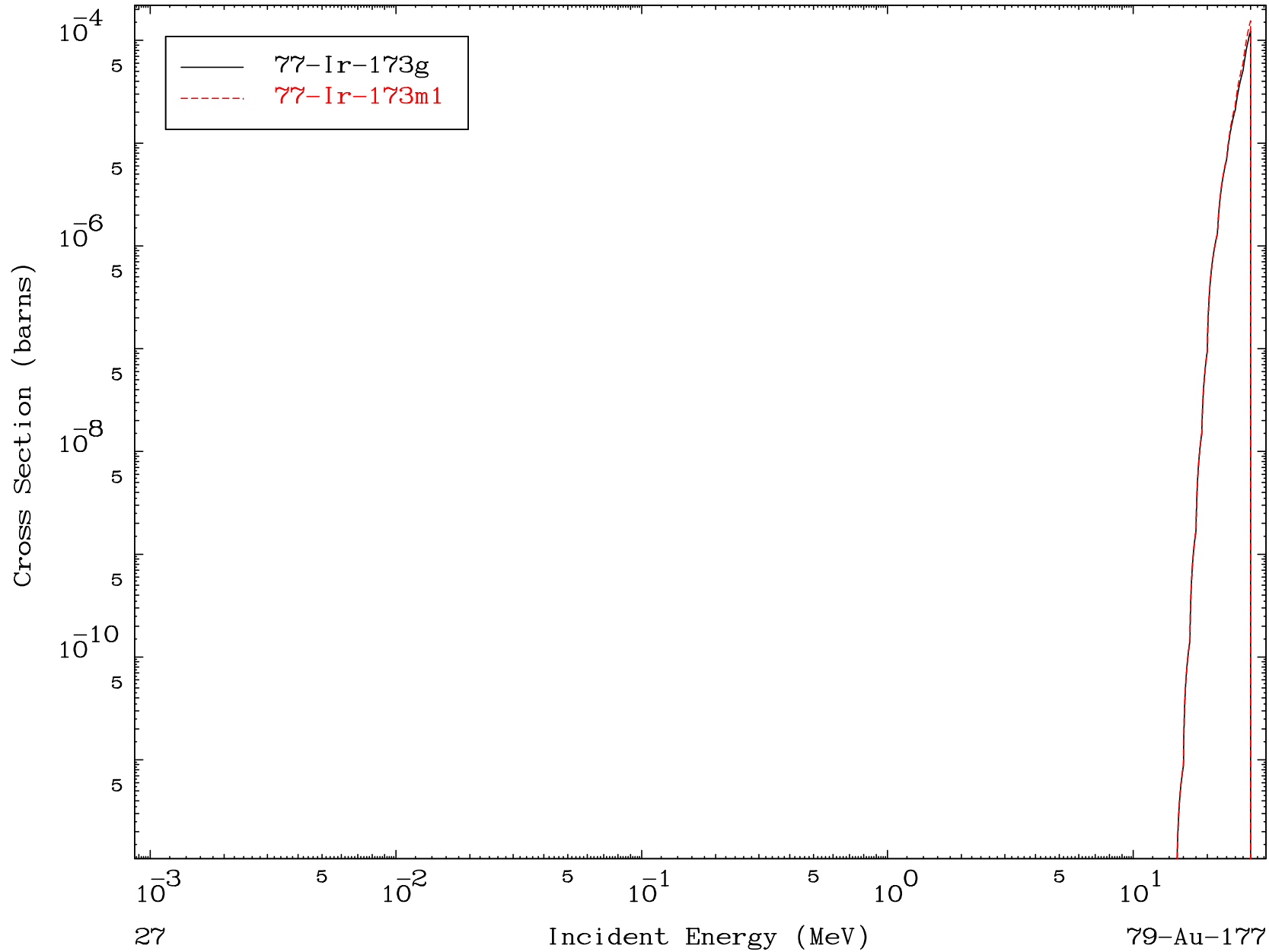


MAT 7866

($\alpha, 2\alpha$)

79-Au-177

Radionuclide Production Cross Section



MAT 7866

($\alpha, 3\alpha$)

79-Au-177

Radionuclide Production Cross Section

